

**РАСЧЕТ ПОЛЯ ИСТОЧНИКА ПОСТОЯННОГО ТОКА,  
ЗАЗЕМЛЕННОГО В ОБСАЖЕННОЙ СКВАЖИНЕ**

Предлагается метод расчета поля источника постоянного тока, заземленного на обсадную колонку скважины в сложных геоэлектрических условиях. Задача решается суммированием полей точечных источников, распределенных по скважине. Обосновывается приближенный способ определения распределения стекающих токов. Метод демонстрируется в геоэлектрических условиях Восточной Сибири.

Широкое распространение наземно-скважинных способов электроразведки возможно, по-видимому, лишь при условии использования обсаженных скважин. Однако заземление элементов приемно-питающей установки на обсадную металлическую колонну приводит к тому, что она существенно участвует в формировании электрического поля в Земле посредством своих параметров — удельного сопротивления материала, радиуса, длины, проводящего сечения. Соответственно возникает необходимость в решении прямых задач, учитывающих это обстоятельство. Цель данной работы — предложить метод решения таких задач в сложных условиях, но вначале проиллюстрируем влияние колонны на простом примере.

**Колонна в полупространстве.** Итак, среда — однородное проводящее полупространство с удельным сопротивлением  $\rho$ , которое от дневной поверхности пересекается полубесконечной колонной радиуса  $a$  с удельным сопротивлением материала  $\rho_M$ . Источник заземлен в точке  $z_0$  (рис. 1, A). Воспользовавшись известным [1] решением для среды с цилиндрическими границами и учитя дневную поверхность как плоскость симметрии двух решений, получим потенциал на дневной поверхности в виде

$$\varphi = \frac{I_0 \rho}{\pi^2} \cdot \int_0^\infty \frac{\cos(m \cdot z_0) \cdot K_0(mr) \cdot dm}{1 + m \cdot a \cdot (\rho/\rho_M - 1) \cdot K_0(m \cdot a) \cdot I_1(m \cdot a)}, \quad (1)$$

где  $I_0$  — ток источника;  $K_0(mr)$ ,  $I_1(ma)$  — модифицированные функции Бесселя;  $r$  — расстояние на дневной поверхности от устья скважины до точки наблюдения (разнос).

Формула (1) справедлива для цилиндра любого радиуса и произвольного удельного сопротивления, но в нашем случае удельное сопротивление металла колонны на шесть порядков меньше  $\rho$  — удельного сопротивления вмещающей среды. Кроме того, радиус колонны много меньше величины разносов ( $r$ ), на которых рассматривается потенциал. Поскольку сходимость интеграла в (1) определяется экспоненциальным спадом функции  $K_0(mr)$ , можно считать, что  $m \cdot a \ll 1$ . Таким образом, приходим к формуле

$$\varphi = \frac{I_0 \cdot \rho}{\pi} \cdot \int_0^\infty \frac{\cos(m \cdot z_0) K_0(m \cdot r) \cdot dm}{\pi - \frac{m^2}{2} \cdot \frac{\rho}{q} \cdot \ln\left(\frac{\gamma \cdot m \cdot a}{2}\right)}, \quad (2)$$

где  $\gamma$  — постоянная Эйлера, а  $q = \rho_M/(\pi \cdot a^2)$  имеет смысл сопротивления единицы длины колонны.

Из физических соображений ясно, что при уменьшении удельного сопротивления вмещающей среды или при увеличении продольного сопротивления колонны влияние ее должно падать. И в самом деле, выражение (2) при  $(\rho/q) \rightarrow 0$  переходит в

$$\varphi_T = \frac{I_0 \cdot \rho}{\pi} \cdot \int_0^\infty \frac{\cos(m \cdot z_0) \cdot K_0(m \cdot r) \cdot dm}{\pi} = \frac{I_0 \rho}{2\pi} \cdot \frac{1}{\sqrt{r^2 + r_0^2}}, \quad (3)$$

т. е. в выражение для потенциала точечного источника.

© 1992 Могилатов В. С.

ными, соответственно возможно использование вертикальной электрической линии.

Колонна в сложной среде. Выше рассмотрена задача для простейшей геоэлектрической среды. Появление хотя бы еще одной границы, кроме дневной, принципиально осложняет решение, приводя к необходимости применения громоздких численных процедур. Однако следующий прием (без существенного обоснования он использовался в работе [5]) позволяет свести задачу к двум более простым.

Допустим, что скважина длиной  $L$ , в которой заземлен источник постоянного тока, пересекает некоторый геоэлектрический разрез. Обсадную колонну можно рассматривать как весьма протяженный линейный заземлитель с некоторым распределением стекающего тока. В общем случае это распределение зависит от всех параметров разреза. Предположим, что оно известно: с малого участка колонны  $\Delta l$  стекает в среду ток  $\Delta I(l)$ . Допустим также, что известен потенциал в любой точке пространства от точечного источника, помещенного в рассматриваемый разрез на глубине  $l$ :

$$\Delta\varphi = \frac{\Delta \cdot I(l) \cdot \rho}{4\pi} \cdot \Psi(l, x, y, z). \quad (4)$$

Тогда полный потенциал в любой точке от заряженной колонны можно записать как

$$\Psi(x, y, z) = \frac{\rho}{4\pi} \int_0^L \frac{dI(l)}{dl} \cdot \Psi(l, x, y, z) dl. \quad (5)$$

где  $dI/dl$  — плотность распределения стекающего тока.

Несложно обобщить выражение (5) и на случай криволинейной скважины.

Итак, задача о поле заряженной колонны свелась к двум: распределение по скважине стекающего тока и поле точечного источника. Рассмотрим эти задачи.

Задача о поле точечного источника хорошо исследована, для прямой горизонтально-слоистой среды известны выражения в виде квадратур или рядов, получены решения для некоторых частных случаев горизонтально-неоднородных сред [3], наконец, разработаны и программы по реализации алгоритмы для произвольных неоднородных сред [6]. Что касается другой задачи — отыскание распределения стекающего тока, то на первый взгляд она не выглядит пропроста, чем исходная, поскольку распределение стекающего тока нужно признать зависящим от любых геоэлектрических качеств разреза. Однако учитывая особые свойства обсадной колонны, рассматривая ее как длинное линейное заземление, допустив, что характер стекания зависит лишь от вмещающей среды, непосредственно окружающей колонну, можно решить эту задачу для произвольной изотропной горизонтально-слоистой среды. Причем решение будем считать справедливым и для горизонтально-неоднородных сред, если резкое нарушение горизонтальной однородности достаточно удалено от скважины. Метод решения был первоначально заимствован из [2], дальнейшее развитие и подробное обоснование условий его применения изложены в [4].

Решение для поля заряженной колонны, полученное описанным выше способом, согласно (5), далее будем называть приближенным, имея в виду допущения, используемые при расчете распределения стекания тока.

**Колонна в полуцилиндре. Приближенное решение.** Проверим теперь метод, получив решение для колонны в полуцилиндре и сравнив его с полученным выше строгим решением.

Итак, пусть колонна длиной  $L$  помещена в полуцилиндр с удельным сопротивлением  $\rho$ . Источник тока заземлен на глубине  $z_0$ . Потенциал

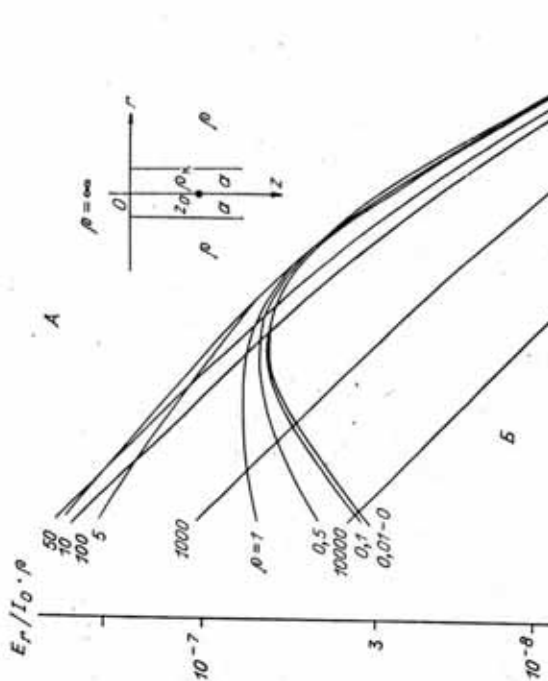


Рис. 1.

Результаты более детального анализа формулы (2) приведены на рис. 1, Б. Здесь представлены кривые градиента  $(E_r/I_0 \cdot r^0)$  в зависимости от разноса для широкого диапазона сопротивлений среды. Источник подключен к колонне (стальная труба, внешний диаметр 0,2 м, внутренний — 0,18 м) на глубине 1000 м.

Отметим, что в диапазоне сопротивлений  $0 \leq \rho \leq 0,1 \text{ Ом} \cdot \text{м}$  поле от колонны на дневной поверхности практически не отличается от поля точечного источника (на рис. 1, Б этот диапазон представлен однотонной кривой). Следующий диапазон —  $0,1 \text{ Ом} \cdot \text{м} < \rho \leq 10 \text{ Ом} \cdot \text{м}$  характеризуется тем, что приближение к полю точечного источника наблюдается при разносах  $r \geq z_0$ . Наконец, при  $\rho > 10 \text{ Ом} \cdot \text{м}$  имеет место все более резкий отход кривых от значений поля точечного источника — колонна становится все более эквипотенциальным проводником.

Как видно, различие в геоэлектрических условиях района исследований может существенно скозьться на выборе методики наземно-скважинных измерений. Например, для Сибирской платформы, где среднее удельное сопротивление вмещающих пород составляет  $50-100 \text{ Ом} \cdot \text{м}$ , применение вертикальной электроразведки на земной поверхности, а также однополярного источника потребует при интерпретации учета влияния колонны.

С иными условиями сталкивается наземно-скважинная электроразведка при исследовании нефтегазовых месторождений в мезозойских отложениях Западно-Сибирской платформы, среднее удельное сопротивление которых составляет  $3-5 \text{ Ом} \cdot \text{м}$ . Здесь заземления можно считать точечными

на дневной поверхности от точечного источника с током  $\Delta I$ , расположенного на глубине  $l$ , есть

$$\Delta\varphi = \frac{\Delta I(l) \cdot \rho}{2 \cdot \pi} \cdot \frac{1}{\sqrt{r^2 + z_0^2}}. \quad (6)$$

Согласно [4], распределение плотности стекающего тока с колонны длиной  $L$ , помещенной в полупространство с удельным сопротивлением  $\rho$ , описывается следующим образом:

$$\frac{dI(l)}{dt} = -\frac{1}{g} \cdot U(l), \quad (7)$$

где  $\alpha = \sqrt{q/g}$ ,  $q = \rho_m/S_m$  — отношение удельного сопротивления металла колонны к ее проводящему сечению, т. е.  $q$  — сопротивление единицы длины колонны протекающему току;  $g = k \cdot \rho$  — сопротивление току стекания с одного метра колонны;  $k$  — коэффициент, слабо зависящий от длины и радиуса колонны.

Если представить колонну вынутым эллипсOIDом вращения с полуосмами  $L/2$  и  $a$ , то можно принять [2]:

$$k = \frac{1}{2\pi} \cdot \ln \left( \frac{L}{a} \right). \quad (8)$$

Теперь потенциал на дневной поверхности от заряженной колонны, согласно (5), можно записать как

$$\Psi = -\frac{\rho}{2\pi g} \cdot \int_0^L \frac{U(l) \cdot dl}{\sqrt{r^2 + z_0^2}}. \quad (9)$$

Воспользовавшись соотношением

$$\frac{1}{\sqrt{r^2 + l^2}} = \frac{2}{\pi} \cdot \int_0^\infty K_0(m \cdot r) \cdot \cos(m \cdot l) \cdot dm,$$

устремив величину  $L$  в бесконечность и производя интегрирование по  $l$ , получим выражение

$$\Psi = \frac{I_0 \cdot \rho}{\pi \cdot r^2} \cdot \int_0^\infty \frac{\cos(m \cdot z_0) \cdot K_0(m \cdot r) \cdot dm}{1 + \frac{m^2}{\alpha^2}}$$

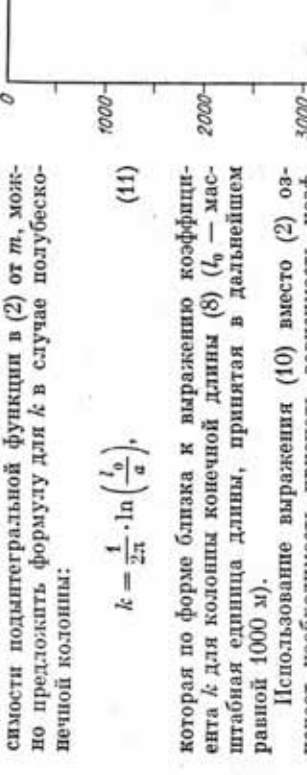
или, учитывая определения  $\alpha$  и  $g$ ,

$$\Psi = \frac{I_0 \cdot \rho}{\pi} \cdot \int_0^\infty \frac{\cos(m \cdot z_0) \cdot K_0(m \cdot r) \cdot dm}{\pi - \frac{m^2}{2} \cdot \frac{\rho}{q} \cdot (-2 \cdot \pi \cdot k)}. \quad (10)$$

в отличие от строгого решения (2), которое здесь снова выпишем:

$$\Psi = \frac{I_0 \cdot \rho}{\pi} \cdot \int_0^\infty \frac{\cos(m \cdot z_0) \cdot K_0(m \cdot r) \cdot dm}{\pi - \frac{m^2}{2} \cdot \frac{\rho}{q} \cdot \ln \left( \frac{r \cdot m \cdot a}{2} \right)}$$

Сравнение этих выражений показывает, что приближение состоит в том, что в полиграфическом выражении функция  $\ln \left( \frac{r \cdot m \cdot a}{2} \right)$  заменяется на константу  $(-2 \cdot \pi \cdot k)$ . Воспользовавшись характером зависимости от константы  $(-2 \cdot \pi \cdot k)$ , получим



Зависимость от *разности*  $\rho$ . Из общих физических соображений можно предположить, что с удалением точки измерений от скважины различие между точным решением (2) и приближенным (10) будет уменьшаться. Как показывают расчеты, относительная ошибка меньше 2 % при  $r \geq 600$  м ( $z_0 = 1000$  м,  $\rho = 100$  Ом · м).

Зависимость от  $\rho$ . Анализ расчетов по формулам (2) и (10) показывает, что изменение удельного сопротивления имеющейся колонны пространства слабо влияет на относительную погрешность. Можно выбрать значение  $k$ , при котором ошибка при использовании приближенного решения (10) будет допустимой в широком диапазоне значений  $\rho$ . Например, для  $z_0 = 1000$  м при  $k = 4.5$  обеспечивается отличие от точного решения менее 3 % при  $1 \leq \rho \leq 100$  Ом · м.

Зависимость от  $z_0$ . Сравнение точного и приближенного расчетов для различных значений  $z_0$  показывает, что при  $r \geq 600$  м и  $\rho > 1$  Ом · м ошибка не превышает 2 %.

Можно сделать общий вывод, практически важный: в широком радиальном диапазоне изменения параметров  $z_0$ ,  $\rho$ ,  $r$  коэффициент  $k$  — коэффициент пропорциональности между сопротивлением скважины току с колонны и удельным сопротивлением среды достаточно положить равным 1,5, чтобы обеспечить относительную ошибку приближенного решения в 3 % — не более. Таким образом, в принятом нами определении сопротивление току стекания постоянно вдоль колонны и зависит (линейно) только от углового сопротивления вмещающей среды. Однако этот вывод мы сделали на основании сравнения точного и приближенного решений для полупроводниковой колонны. Вполне допустимо, что для реальной колонны конечной длины сопротивление стекания будет значительно меняться вдоль скважины. На рис. 2 представлены кривые сопротивления току стекания (с 1 м), построенные по расчетам, выполненным В. С. Мойсеевым и сотрудниками по методу электротехнического эквивалента [7] для скважины длиной 3000 м и  $\rho = 5$  Ом · м. Само значение  $g$  ( $\sim 10$  Ом · м) отличается от нашего значения  $g = 1,5 \cdot \rho = 7,5$  Ом · м, поскольку при расчете методом электротехнического эквивалента поверхность скважины разворачивалась в плоскую (одностороннюю) и сопротивление вследствие этого завышалось, однако «краевой» эффект в этом методе учтывался (см. рис. 2), но им можно пренебречь и считать сопротивление стеканию постоянным по колонне.

Поле колонны, пересекающей *S*-плоскость. Мы конструировали, что предлагаемый способ решения задачи о поле колонны с использованием приближенного определения распределения стекающего тока вполне оправдан, по крайней мере, в однородном полупространстве. Показано, что и в резко неоднородной по вертикали среде приближенное решение достаточно близко к точному, причем при том же значении  $k$ . В качестве такой среды, позволяющей получить точное решение, возьмем однородное пространство с удельным сопротивлением  $\rho$ , вмещаю-

щее плоскость  $S$  с проводимостью  $S_{\Pi}$ . Бесконечная колонна пересекает все пространство и  $S$ -плоскость по оси  $z$ . Источник помещен в начало координат — в точку пересечения оси скважины (ось  $z$ ) с плоскостью  $S$ .

Следующее решение получено несколько иначе, чем мы это сделали для полупространства, заменив колонну  $S$ -поверхностью в виде цилиндра радиуса  $a$  с продольной проводимостью  $S_{\Pi}$ . Для такой модели удаётся разделить переменные в краевой задаче для потенциала в цилиндрической системе координат.

Удовлетворив обычным требованиям для потенциала и условиям для градиентов на  $S$ -поверхности:

$$[E_z]|_{S_{\Pi}} = 0, \quad [H_{\varphi}]|_{S_{\Pi}} = -S_{\Pi} \cdot E_z,$$

$$[E_r]|_{S_{\Pi}} = 0, \quad [H_{\varphi}]|_{S_{\Pi}} = S_{\Pi} \cdot E_r, \quad (12)$$

разделили переменные в уравнении Лапласа, получим, что

$$\begin{aligned} \Psi &= \frac{I_0 \rho}{2\pi} \cdot \int_0^{\infty} K_0(m \cdot r) \cdot \left\{ \frac{\cos(m \cdot z)}{\pi - \frac{m^2}{2} \cdot \frac{\rho}{q} \cdot \ln\left(\frac{\gamma \cdot m \cdot a}{2}\right)} - \right. \\ &\quad \left. - \rho \cdot S_{\Pi} \cdot \frac{[\cos(mz) + |\sin(mz)|]}{\left[\pi - \frac{m^2}{2} \cdot \frac{\rho}{q} \cdot \ln\left(\frac{\gamma \cdot m \cdot a}{2}\right)\right] \cdot [2 + m \cdot \rho \cdot S_{\Pi}]} \right\} \cdot dm, \end{aligned} \quad (13)$$

где  $q = 1/(2 \cdot \pi \cdot a^2 \cdot S_{\Pi})$  — продольное сопротивление колонны. Здесь учтено, что  $r \gg a$  и  $\rho/a \sim 10^6$ .

Первый член представляет собой решение для потенциала в отсутствии  $S$ -плоскости, второй — аномальная часть  $\Psi$ .

Найдем теперь приближенное решение. По предлагаемому рецепту необходимо сначала получить распределение стекающего тока с колонны, пересекающей пространство и плоскость  $S$ , что можно сделать, воспользовавшись результатами работы [4]. Кроме того, нужно знать выражение для потенциала точечного источника при произвольном его положении на оси  $z$  для той же среды. Подставив соответствующие функции в (5) и проинтегрировав по бесконечной колонне, получим

$$\begin{aligned} \Psi &= \frac{I_0 \rho}{2\pi} \int_0^{\infty} K_0(mr) \cdot \left\{ \frac{\cos(m \cdot z)}{\pi - \frac{m^2}{2} \cdot \frac{\rho}{q} \cdot (-2\pi \cdot k)} - \right. \\ &\quad \left. - \rho \cdot S_{\Pi} \cdot \frac{[\cos(m \cdot z) + |\sin(m \cdot z)|]}{\left[\pi - \frac{m^2}{2} \cdot \frac{\rho}{q} \cdot (-2\pi \cdot k)\right] \cdot [2 + m \cdot \rho \cdot S_{\Pi}]} \right\} \cdot dm. \end{aligned} \quad (14)$$

Сравнив формулы (13) и (14) показывает, что, как и в случае однородного пространства, приближение сводится к тому, что в подынтегральном выражении функция  $\ln(\gamma \cdot m \cdot a/2)$  заменяется на константу  $(-2 \cdot \pi \cdot k)$ . Сравнение численных расчетов, проведенных по объемным формулам, показывает, что величина  $k$ , при которой погрешность приближения менее 5 %, одинакова как для нормального поля, так и для аномального, и для всех реальных значений параметров  $\rho$ ,  $S_{\Pi}$ ,  $r$  близка к 1,5.

Поле колонны в сложных средах. Считая развиный выше метод расчета поля от обсадной колонны достаточно обоснованным, применим его к ситуациям более сложным.

Во-первых, заметим, что непрудно получить решение для колонны в произвольной горизонтально-слоистой среде. Поле точечного источника хорошо изучено, а распределение стекающего тока с колонны, пере-

секающей  $N$ -слойную горизонтально-слоистую среду, непрудно получить, пользуясь нашим приближенным способом. Не приводя формулы, отметим, что окончательный результат после интегрирования по скважине представляется в виде квадратуры, которую нужно вычислять на ЭВМ.

При этом предлагаемый метод расчета в ситуации, характерной для условий Сибирской платформы. Получим решение для поля колонны, пересекающей водонасыщенную часть коллектора, моделируемую  $S$ -диском, перекрывающим экраном —  $T$ -плоскостью. Пусть  $S$ -диск расположен в основании пластика, т. е. его мощность  $h \ll L$  — длины колонны. Т-плоскость помещена на глубине  $h_{\Pi}$ .

Поле точечного источника в таких условиях получим методом, использованным в работе [3]:

$$\Psi_T(r, z, l) = \frac{J \cdot \rho}{4\pi} \int_0^{\infty} J_0(m \cdot r) \cdot F(m, z, l) \cdot dm \quad (15)$$

на дневной поверхности ( $z = 0$ )

$$F(m, 0, l) = F_H(m, 0, l) + \tau \cdot \frac{\partial F(m, h_{\Pi}, l)}{\partial z} + F_D(m, 0, l),$$

где ( $l$  — положение источника, ось  $z$  — вниз)

$$\begin{aligned} F_H(m, z, l) &= \frac{2}{\operatorname{sh}(m \cdot h)} \times \begin{cases} \operatorname{ch}(m \cdot z) \cdot \operatorname{ch}[m(h-l)], & z \leq l, \\ \operatorname{ch}[m(h-z)] \cdot \operatorname{ch}(ml), & z > l, \end{cases} \\ \tau &= \frac{T_{\Pi}}{\rho} \cdot \frac{\operatorname{sh}[m \cdot (h-h_{\Pi})]}{\epsilon}, \end{aligned}$$

$$F_D = -\frac{m \cdot D}{\epsilon} \cdot \rho \cdot S_{\Pi} \cdot R_{\Delta} \int_0^{\infty} \psi_S \cdot m' \cdot \left[ F_{\Delta} + F_H(m', 0, l) - \tau_0 \frac{\partial F_H(m, h_{\Pi}, l)}{\partial z} \right] dm, \quad (16)$$

$$D = \operatorname{ch}(m \cdot h) + \frac{T_{\Pi}}{\rho} \cdot \frac{\operatorname{sh}(m \cdot h - h_{\Pi}) \cdot \operatorname{sh}(m \cdot h_{\Pi})}{\epsilon},$$

$$\tau_0 = \frac{T_{\Pi}}{\rho} \cdot \frac{\operatorname{sh}(mh_{\Pi})}{\epsilon},$$

$$\psi_S = \operatorname{sh}(mh) + \frac{T_{\Pi}}{\rho} \cdot m \cdot \operatorname{sh}(m \cdot h_{\Pi}) \cdot \operatorname{sh}(m \cdot (h - h_{\Pi})),$$

$$\Phi_s = \frac{m' J_1(m \cdot R_{\Delta}) \cdot J_0(m' \cdot R_{\Delta}) - m J_0(m R_{\Delta}) \cdot J_1(m' \cdot R_{\Delta})}{m^2 - m'^2},$$

$T_{\Pi}$  — попрертое сопротивление экрана;  $S_{\Delta}$  — продольная проводимость  $S$ -диска;  $R_{\Delta}$  — радиус  $S$ -диска.

Для определения  $F_{\Delta}$  как функции от  $m$  необходимо решить интегральное уравнение (16).

Распределение стекающего тока получим, воспользовавшись результатами (14). В нашем приближении наличие  $T$ -плоскости не влияет на распределение стекающего тока:

$$\frac{dI}{dl} = \frac{1}{g} [U_H(l, z_0) + U_S(l, z_0)], \quad (17)$$

где  $U_H(l, z_0) = \frac{I_0 q}{\alpha \cdot \operatorname{sh}(\alpha l)} \cdot \frac{4}{\operatorname{sh}(\alpha z_0)} \left[ \operatorname{ch}(\alpha \cdot (h - z_0)) \cdot \operatorname{ch}(\alpha \cdot z), \quad 0 \leq l \leq z_0, \right. \\ \left. \operatorname{ch}(\alpha \cdot z_0) \cdot \operatorname{ch}(\alpha \cdot (h - l)), \quad z_0 \leq l \leq h,$

$$U_S(l, z_0) = -\frac{S_{\Delta} \cdot \rho \cdot \alpha \cdot U_H(h, z_0) \cdot \operatorname{ch}(\alpha l)}{\operatorname{sh}(\alpha l) + S_{\Delta} \cdot \rho \cdot \alpha \cdot \operatorname{ch}(\alpha \cdot h)},$$

$q$  — продольное сопротивление 1 м колонны,  $g = k \cdot \rho$  — сопротивление току стекания с 1 м;  $\alpha = \sqrt{q/g}$  — важнейший параметр, определяющий

На рис. 3 приведен фрагмент этого исследования. Здесь представлена трансформированная кривая поля (градиента  $E_r$ ) по профилю — радиусу от устья скважины. Трансформация имеет целью подчеркнуть положение края и заключается в нормировании полного поля  $E_r$  на нормальное поле  $E_r^N$  (т. е. для той же установки и среды, но без объекта) с последующим дифференцированием. Положение края ( $R_D = 6000$  м) отмечается максимумом. Источник заземлен на глубине 1600 м.

Кривая 7 дает наиболее четкое определение положения края диска. Это случай, когда отсутствуют экран и колонна. Заземление на колонну (кривая 1) в отсутствие экрана слабо оказывается на точности определения края. Кривые 2 и 3 рассчитаны с учетом экрана со стоячим и заземленным на колонну источником. ЭДС над краем со стоячей линией на 1 А тока источника составляет 60—80 мВ.

В заключение подчеркнем, что, несмотря на имеющиеся программные комплексы для расчета полей в производственных трехмерных средах, необходимость в специализированных алгоритмах, как, например, для источника, заземленного на обсадную колонну, несомнена, поскольку это снижает требования к ресурсам ЭВМ и позволяет оперативно отвечать на вопросы методики полевых работ и интерпретации результатов наблюдений.

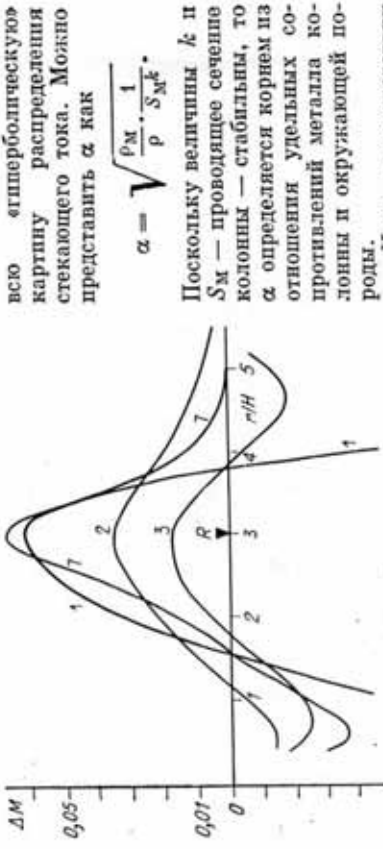


Рис. 3.  
Изменение градиента поля в зависимости от радиуса  $R$  для различных условий заземления и наличия экрана. Кривые 1—6 соответствуют различным случаям заземления и наличия экрана, кривая 7 — трансформированная кривая 6.

Поскольку величины  $k$  и  $S_M$  — проводящее сечение колонны — стабильны, то  $\alpha$  определяется корнем из отношения удельных сопротивлений металла колонны и окружающей почвы.

Итак, в соответствии с предлагаемой методикой с предваряющей пласт, содержащей  $T$ -плоскость на глубине  $h_H$  и  $S$ -диск на глубине  $h$  (в основании пласта), согласно (5), определяется поле колонны, пересекающей пласт, содержащий  $T$ -плоскость на глубине  $h_H$  и  $S$ -диск на глубине  $h$  (в основании пласта), согласно (5), определяется как

$$\Psi(r, z, z_0) = \frac{\rho}{4\pi} \int_0^h \frac{dI(l, z_0)}{dl} \int_0^\infty J_0(mr) F(mz, l) dm \cdot dl, \quad (18)$$

где  $z_0$  — положение заземления в колонне.

Интеграл по колонне от 0 до  $h$  берем аналитически, используя граничные условия, и окончательно найдем для потенциала на дневной поверхности от заряженной колонны:

$$\begin{aligned} \Psi(r, 0, z_0) = & - \frac{I_0 \theta \tau_0}{4\pi} \int_0^\infty J_0(mr) \left\{ - \frac{dI(h_H, z_0)}{dt} + \alpha \cdot F_{II}(m, 0, z_0) + \right. \\ & + \alpha \cdot \tau \frac{\partial F_H(m, h_H, z_0)}{\partial t} - \frac{dI(0, z_0)}{dt} - \frac{S_D \cdot \rho \cdot \alpha}{I_0} \cdot \frac{dI(h, z_0)}{dt} \times \\ & \times \left. \left[ F_H(m, 0, h) + \tau \cdot \frac{\partial F_H(m, h_H, h)}{\partial t} \right] + X/D \right\} dm, \end{aligned} \quad (19)$$

где  $X$  удовлетворяет уравнению

$$\begin{aligned} X = & - \frac{m \cdot D}{e} \cdot \rho \cdot S_D \cdot R_D \cdot \int_0^\infty \Psi_S \cdot m' (X + X_H) dm', \\ X_H = & - \frac{d^2 I(0, z_0)}{dt^2} \cdot \frac{2 \cdot m \cdot \tau_0}{I_0 \cdot \alpha} + \alpha \cdot F_{II}(m, h, z_0) - \alpha \cdot \tau_0 \cdot \frac{d \cdot F_H(m, h_H, z_0)}{dt} + \\ & + \frac{dI(h, z_0)}{dt} \cdot \frac{1}{I_0 \alpha} \left[ - \alpha^2 \cdot \rho \cdot S_D \cdot F_{II}(m, h, h) + \alpha^2 \cdot \rho \cdot S_D \cdot \tau_0 \frac{\partial F_H(m, h_H, h)}{\partial t} - 2m \right]. \end{aligned}$$

Далее необходимо производить численный расчет. Соответствующая программа была составлена и использовалась для анализа возможностей определения положения края водонасыщенной части коллектора для условий Восточной Сибири (в частности, для Даниловской площади). Здесь мощность проводящей толщи  $h = 2000$  м,  $\rho = 75$  Ом·м. Объект — водонасыщенный часть коллектора — моделируется в основании пластиа дисковом с продольной проводимостью  $S_D = 25$  Ом<sup>-1</sup>. Экранирующее вынужденное отложение (трапеция, соли) моделируются  $T$ -плоскостью с первичным сопротивлением до  $T_H = 5 \cdot h$ ,  $\rho$  на глубине 1000 м. Параметр  $\alpha$  имеет значение  $10^{-3} \text{ м}^{-1}$ , т. е. вязкость колонны значительна, но ее нельзя считать эквивалентной заземлением.

## ЛИТЕРАТУРА

- Дахнов В. Н. Электрическая разведка нефтяных и газовых месторождений.— М.: Гостоптехиздат, 1953.— С. 111—113.
- Заборовский А. И. Электроразведка.— М.: Гостоптехиздат, 1963.— С. 39—44.
- Могилатов В. С. Математическое моделирование задач на земечно-скважинной зондировке // Геология и геофизика.— 1983.— № 3.— С. 111—116.
- Могилатов В. С., Гендельман А. М. О возможности использования обсаженных скважин в на земечно-скважинной электроразведке на нефть и газ в условиях Сибирской платформы // Геология и геофизика.— 1983.— № 12.— С. 99—105.
- Могилатов В. С., Горюшкин Н. В. Ставление поля от источника, заселенного в обсаженной скважине // Геология и геофизика.— 1984.— № 12.— С. 101—105.
- Хуторянский В. К. О вычислении стационарного электрического поля в сложнопостроенных средах // Геология и геофизика.— 1984.— № 11.— С. 98—106.
- Монсеев В. С., Таильев А. С. Оценка возможности применения на земечно-скважинной электроразведки для решения нефтегазовых задач в Восточной Сибири // Повышение эффективности геофизических методов поисков и оценки месторождений полезных ископаемых на основе математического моделирования.— Новосибирск: СНИИГИМС, 1986.— С. 47—58.

Поступила в редакцию  
12 марта 1991 г.

V. S. MOGILATOV

CALCULATION OF ELECTRIC FIELD EXCITED BY CURRENT SOURCE GROUNDED ON CASING IN DRILL HOLE

The method for calculation of electric field strength for the case when the source of constant current is grounded on casing is proposed. This method may be used under complex geoelectric conditions. The problem is resolved by summation of fields of point sources distributed along drill hole. An approximated way for determining current sheet is justified. The possibility of this method is illustrated under geoelectric conditions of East Siberia.